

# INTRODUCTION AUX RÉSEAUX DE NEURONES

Le processus d'apprentissage en pratique

Pascal Germain\*, 2018

\* Merci spécial à [Philippe Giguère](#) pour m'avoir permis de réutiliser une partie de ces transparents.

# Le choc de la réalité

**Algorithme de descente en gradient stochastique (avec momentum).**

ENTRÉES: Ensemble d'apprentissage  $S$ , taux d'apprentissage  $\eta$ , vitesse  $\alpha$ , nombre d'itérations  $T$

- Initialiser  $\mathbf{z} \in \mathbb{R}^d$  aléatoirement
- $\mathbf{v} \leftarrow 0$
- Pour  $t$  de 0 à  $T$ :
  - Choisir aléatoirement  $i \in \{1, \dots, d\}$
  - $\mathbf{g} \leftarrow \nabla F_i(\mathbf{z})$
  - $\mathbf{v} \leftarrow \alpha \mathbf{v} - \frac{\eta}{\sqrt{t}} \mathbf{g}$
  - $\mathbf{z} \leftarrow \mathbf{z} + \mathbf{v}$
- Retourner  $\mathbf{z}$

# Apprentissage par «minibatch»

- À chaque itération, le gradient est calculé sur un petit sous-ensemble de taille fixe de l'ensemble d'apprentissage

Algorithme de descente en gradient avec momentum – version mini-batch.

ENTRÉES: Taux d'apprentissage  $\eta$ , vélocité  $\alpha$ , taille de minibatch  $m$ , nombre d'époques  $T$

- Initialiser  $\mathbf{z} \in \mathbb{R}^d$  aléatoirement

- $\mathbf{v} \leftarrow 0$

- Pour  $t$  de 0 à  $T$ :

Un passage sur tous les exemples d'apprentissage se nomme une «époque» (en anglais: «epoch»)

- Diviser aléatoirement  $S$  en  $\lfloor n/m \rfloor$  sous-ensembles disjoints  $\hat{S}_1, \dots, \hat{S}_{\lfloor n/m \rfloor}$

Ce sont les «minibatch»

- Pour  $\hat{S}_i = \hat{S}_1, \dots, \hat{S}_{\lfloor n/m \rfloor}$ :

- \*  $\mathbf{g} \leftarrow \frac{1}{m} \sum_{(\mathbf{x}_k, y_k) \in \hat{S}_i} \nabla F_k(\mathbf{z})$

Moyenne du gradient sur les  $m$  exemples de la «minibatch»

- \*  $\mathbf{v} \leftarrow \alpha \mathbf{v} - \frac{\eta}{\sqrt{t}} \mathbf{g}_t$

- \*  $\mathbf{z} \leftarrow \mathbf{z} + \mathbf{v}$

- Retourner  $\mathbf{z}$

# Apprentissage par «minibatch»

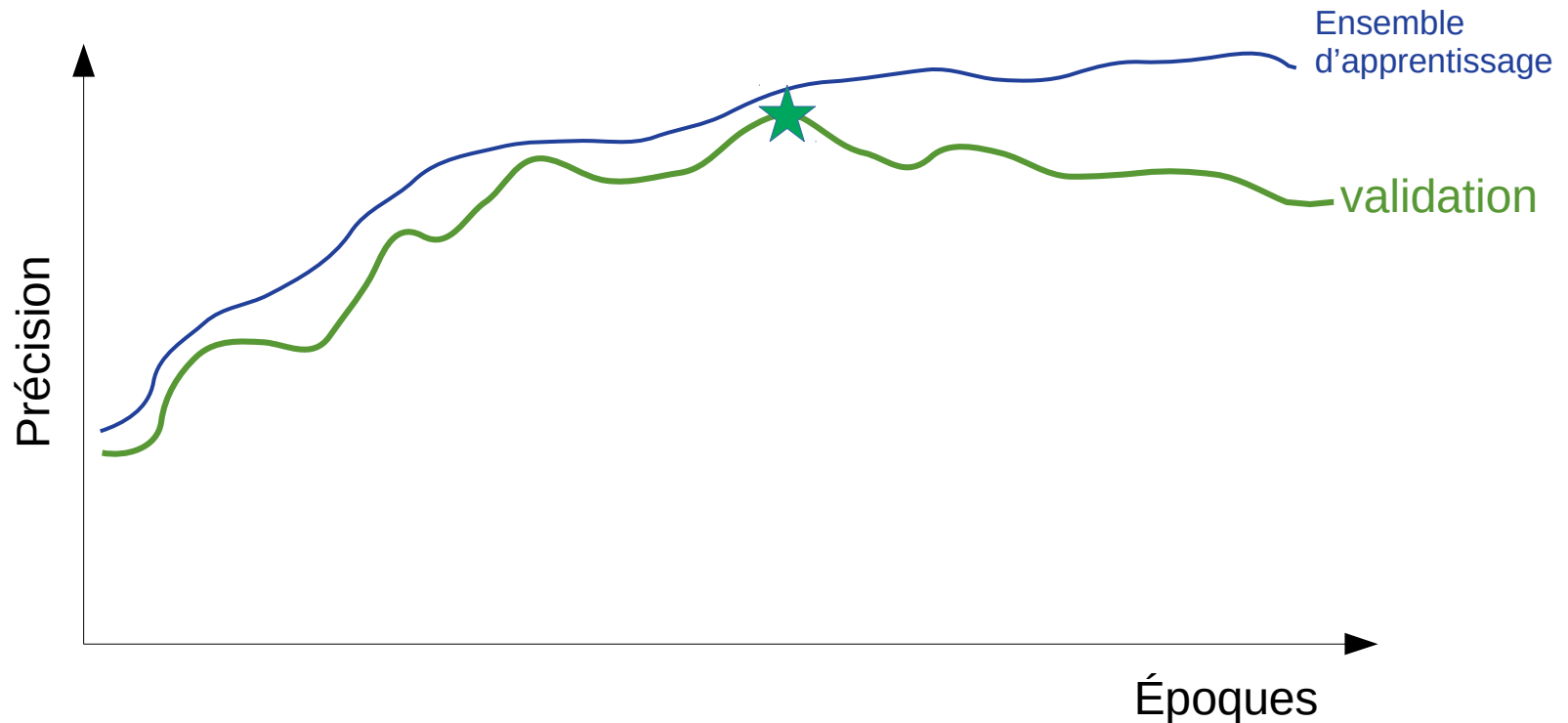
- La variance du gradient diminue avec la taille  $m$  de la minibatch

$$\mathbf{g} \leftarrow \frac{1}{m} \sum_{(\mathbf{x}_k, y_k) \in \hat{S}_i} \nabla F_k(\mathbf{z})$$

- Pour  $m=1$ , on retrouve la descente de gradient stochastique standard
- Pour  $m=n=|S|$ , on retrouve la descente en gradient «batch» (non-stochastique)
- Valeurs typiques : 32, 64, 128, 256, 512
- **Avantage principal:** Augmente la vitesse de calcul grâce à la parallélisation des opérations matricielles sur CPU / GPU
- Mais la taille de la minibatch influence la solution obtenue...

# Le «early stopping»

- Séparer les données en un ensemble d'apprentissage  $S$  et un ensemble de validation  $S_v$ .
- Arrêter la descente de gradient lorsque la précision est maximale sur  $S_v$ .



La précision n'est pas nécessairement évaluée par la même métrique que la fonction de perte optimisée (exemple: précision zéro-un vs perte logistique)

# Le «early stopping»

Algorithme de descente en gradient avec momentum – version early stopping.

ENTRÉES: Ensemble d'apprentissage  $S$ , ensemble de validation  $S_V$ , patience  $p$   
taux d'apprentissage  $\eta$ , vélocité  $\alpha$ , taille de minibatch  $m$

- Initialiser  $\mathbf{z} \in \mathbb{R}^d$  aléatoirement
- $\mathbf{v} \leftarrow 0$
- $t \leftarrow 0, T \leftarrow p, \mathbf{z}^* \leftarrow \mathbf{z}$
- Tant que  $t < T$ :
  - Diviser aléatoirement  $S$  en  $\lfloor n/m \rfloor$  sous-ensembles disjoints  $\hat{S}_1, \dots, \hat{S}_{\lfloor n/m \rfloor}$
  - Pour  $\hat{S}_i = \hat{S}_1, \dots, \hat{S}_{\lfloor n/m \rfloor}$ :
    - \*  $\mathbf{g} \leftarrow \frac{1}{m} \sum_{(\mathbf{x}_k, y_k) \in \hat{S}_i} \nabla F_k(\mathbf{z})$
    - \*  $\mathbf{v} \leftarrow \alpha \mathbf{v} - \frac{\eta}{\sqrt{t}} \mathbf{g}_t$
    - \*  $\mathbf{z} \leftarrow \mathbf{z} + \mathbf{v}$
  - Si  $\text{Précision}(\mathbf{z}, S_V) > \text{Précision}(\mathbf{z}^*, S_V)$ :
    - \*  $\mathbf{z}^* \leftarrow \mathbf{z}$
    - \*  $T \leftarrow t + p$
  - $t \leftarrow t + 1$
- Retourner  $\mathbf{z}^*$

$\mathbf{z}^*$  représente le meilleur modèle rencontré

Le paramètre de «patience» remplace le nombre d'époques

Tant que ma patience n'est pas épuisée !

Si la précision du modèle représenté par les paramètres  $\mathbf{z}$  sur l'ensemble de Validation  $S_V$  est plus élevée que le meilleurs modèle rencontré jusqu'à maintenant

Retourne le meilleur modèle rencontré sur l'ensemble de validation

Allons voir si la précision augmente au cours des  $p$  prochaines itérations

# Horaire d'apprentissage

- On désire généralement un taux d'apprentissage élevé en début d'apprentissage et un taux d'apprentissage bas vers la fin
- Toutefois, le taux de décroissance idéal dépend du problème
- En pratique, il est commun d'ajuster le taux d'apprentissage «à la main»

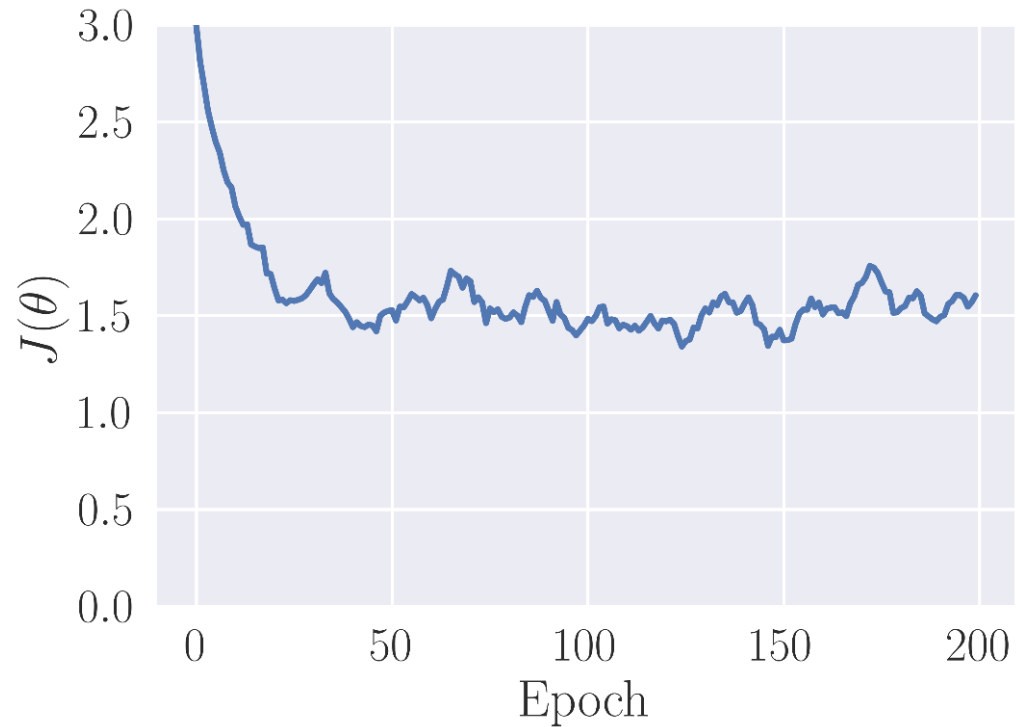
## Algorithme de descente en gradient avec momentum – version horaire d'apprentissage

ENTRÉES: Ensemble d'apprentissage  $S$ , horaire d'apprentissage  $\{\eta_t\}_{t=1}^T$ ,  
vélocité  $\alpha$ , taille de minibatch  $m$ , nombre d'époques  $T$

- Initialiser  $\mathbf{z} \in \mathbb{R}^d$  aléatoirement
- $\mathbf{v} \leftarrow 0$
- Pour  $t$  de 0 à  $T$ :
  - Diviser aléatoirement  $S$  en  $\lfloor n/m \rfloor$  sous-ensembles disjoints  $\hat{S}_1, \dots, \hat{S}_{\lfloor n/m \rfloor}$
  - Pour  $\hat{S}_i = \hat{S}_1, \dots, \hat{S}_{\lfloor n/m \rfloor}$ :
    - \*  $\mathbf{g} \leftarrow \frac{1}{m} \sum_{(\mathbf{x}_k, y_k) \in \hat{S}_i} \nabla F_k(\mathbf{z})$
    - \*  $\mathbf{v} \leftarrow \alpha \mathbf{v} + \eta_t \mathbf{g}_t$
    - \*  $\mathbf{z} \leftarrow \mathbf{z} + \mathbf{v}$
- Retourner  $\mathbf{z}$

# Horaire d'apprentissage

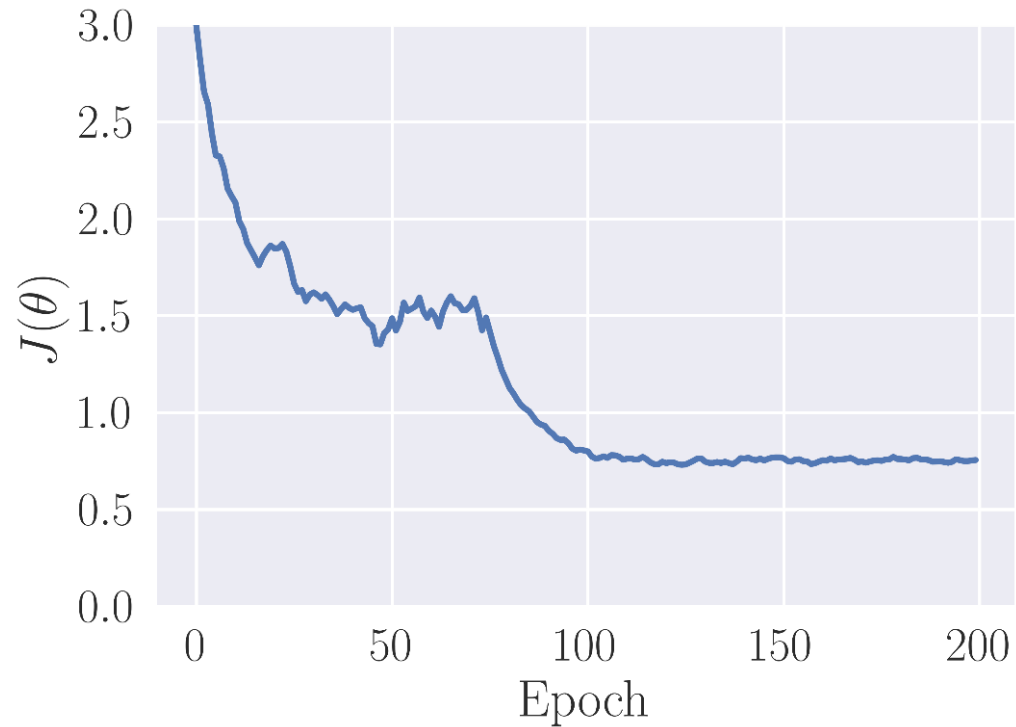
Convergence aux alentours de l'époque 75.



| Époque               | 0   |  |  |  |
|----------------------|-----|--|--|--|
| Taux d'apprentissage | 0.1 |  |  |  |

# Horaire d'apprentissage

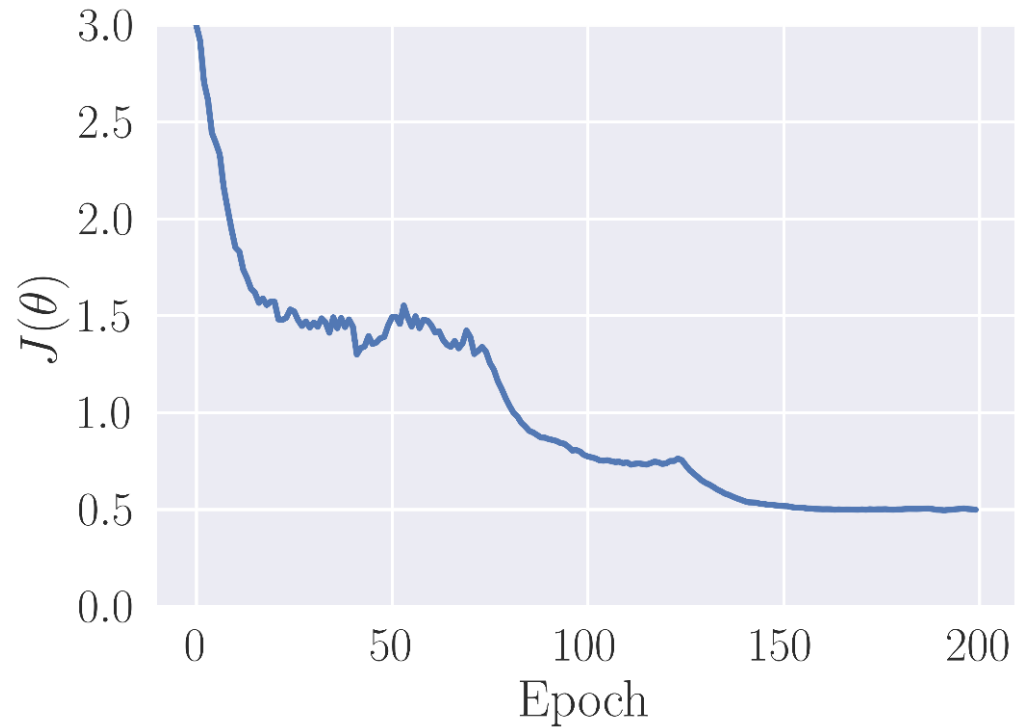
Convergence aux alentours de l'époque 125.



| Époque               | 0   | 75   |  |  |
|----------------------|-----|------|--|--|
| Taux d'apprentissage | 0.1 | 0.01 |  |  |

# Horaire d'apprentissage

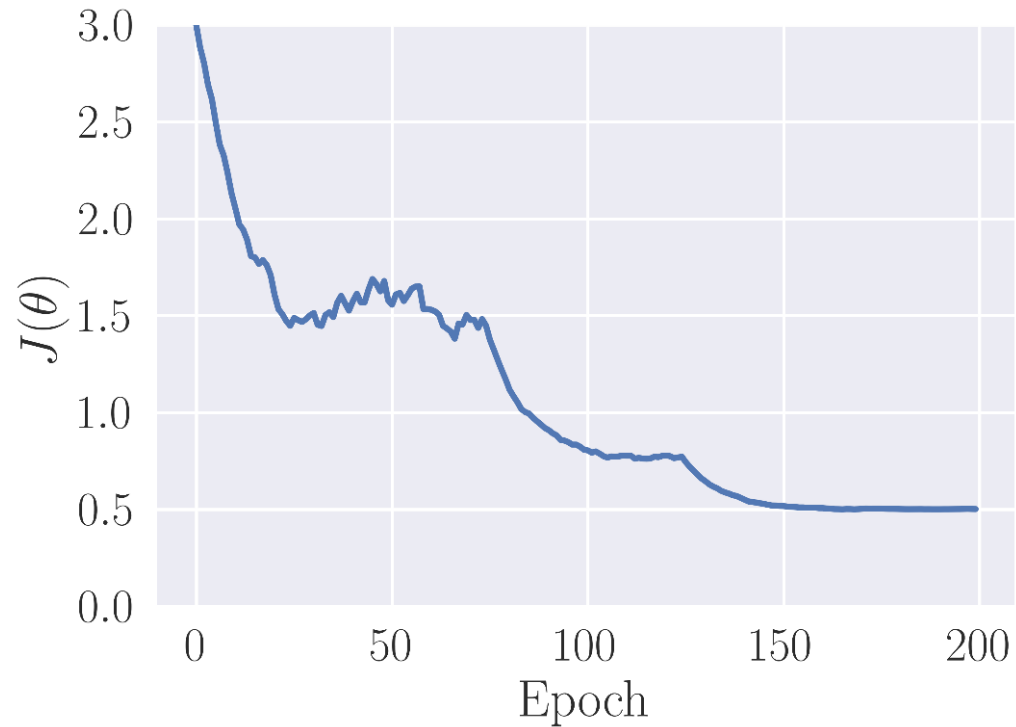
Convergence aux alentours de l'époque 175.



| Époque               | 0   | 75   | 125   |  |
|----------------------|-----|------|-------|--|
| Taux d'apprentissage | 0.1 | 0.01 | 0.001 |  |

# Horaire d'apprentissage

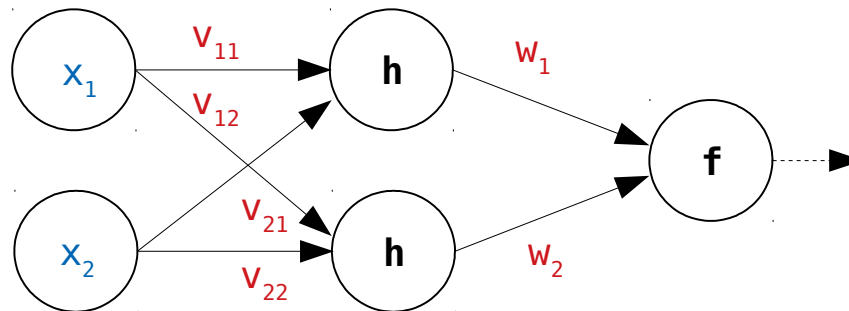
Aucun gain  
après époque  
175.



| Époque               | 0   | 75   | 125   | 175    |
|----------------------|-----|------|-------|--------|
| Taux d'apprentissage | 0.1 | 0.01 | 0.001 | 0.0001 |

# De l'importance de l'initialisation

- Une mauvaise initialisation des poids du réseau est susceptible de:
  - Ralentir la vitesse de convergence
  - Converger vers un minimum local indésirable
- L'initialisation aléatoire des poids permet de briser les symétries



- **Question:** Qu'arrive-t-il si j'initialise tous les poids à la même valeur?

# Initialisation par défaut de pytorch

$$w^{(k)} \sim U \left[ -\frac{1}{\sqrt{d_k}}, \frac{1}{\sqrt{d_k}} \right]$$

Pour chaque poids de la  $k^{\text{ième}}$  couche  $\mathbf{W}^{(k)}$

On note  $d_k$  la largeur de la  $k^{\text{ième}}$  couche  $\mathbf{W}^{(k)}$

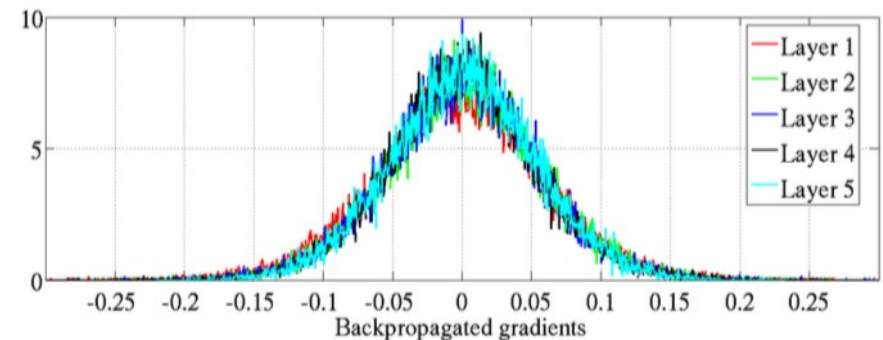
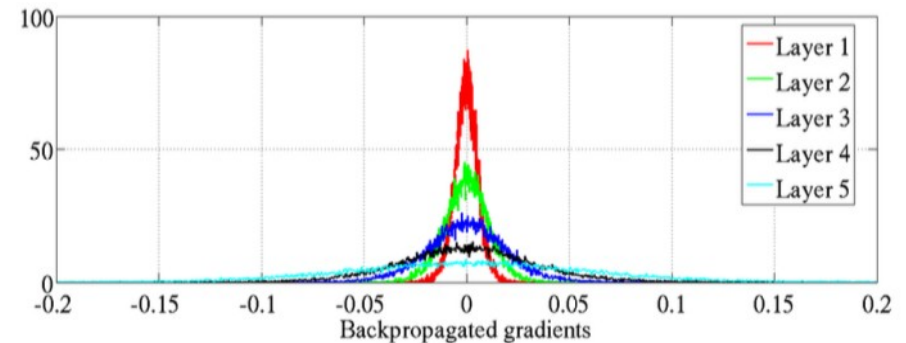
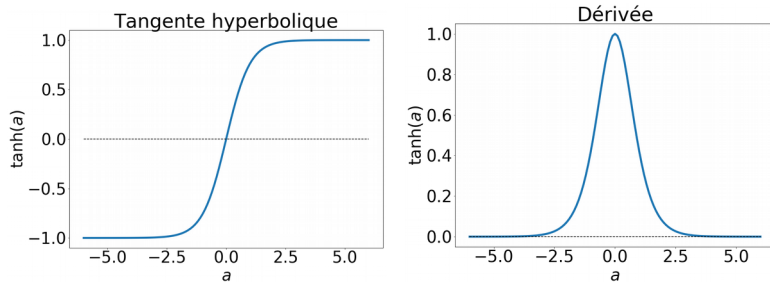
$$\mathbf{W}^{(k)} = \begin{bmatrix} w_{1,1}^{(k)} & \cdots & w_{1,d_k-1}^{(k)} \\ \vdots & \ddots & \vdots \\ w_{d_k,1}^{(k)} & \cdots & w_{d_k,d_k-1}^{(k)} \end{bmatrix} \in \mathbb{R}^{d_k \times d_k-1}.$$

# Initialisation «Xavier»

**Objectif:** Conserver la variance des gradients similaire à l'entrée et à la sortie de chaque couche du réseau

$$w^{(k)} \sim U \left[ -\frac{\sqrt{6}}{\sqrt{d_{k-1} + d_k + 1}}, \frac{\sqrt{6}}{\sqrt{d_{k-1} + d_k + 1}} \right]$$

Pour les fonction d'activation de type tangente hyperbolique

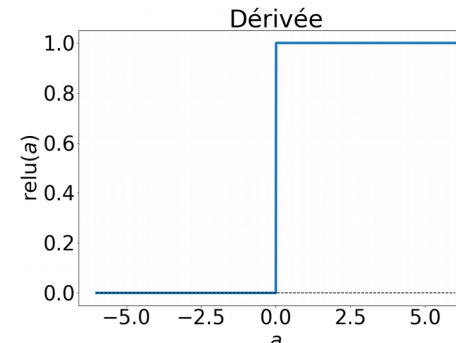
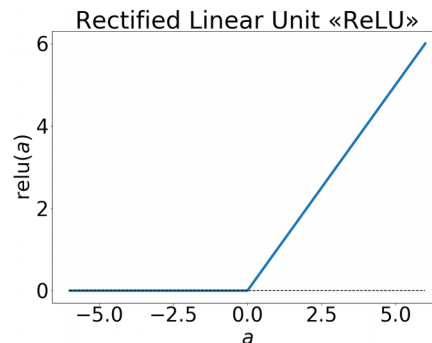


# Initialisation «Kaiming»

**Objectif:** Conserver la variance des gradients similaire à l'entrée et à la sortie de chaque couche du réseau

$$w^{(k)} \sim U \left[ -\frac{2}{\sqrt{d_k}}, \frac{2}{\sqrt{d_k}} \right]$$

Pour les fonction d'activation de type ReLU



# Normalisation par *batch* (ou «*batchnorm*»)

Lors de l'apprentissage par «minibatch», normaliser et centrer la distribution des sorties de chaque neurone individuellement

Considérons un neurone. Lors de la phase de propagation de l'apprentissage, ce neurone est traversé par une minibatch de  $m$  éléments au temps  $t$ .

1. Notons  $a_{t;1}, \dots, a_{t;m}$  l'ensemble des valeurs sortie du neurone.

# Normalisation par *batch* (ou «*batchnorm*»)

Lors de l'apprentissage par «minibatch», normaliser et centrer la distribution des sorties de chaque neurone individuellement

Considérons un neurone. Lors de la phase de propagation de l'apprentissage, ce neurone est traversé par une minibatch de  $m$  éléments au temps  $t$ .

1. Notons  $a_{t;1}, \dots, a_{t;m}$  l'ensemble des valeurs sortie du neurone.
2. On calcule

$$\mu_{a_t} = \frac{1}{m} \sum_{i=1}^m a_{t;i}$$
$$\sigma_{a_t} = \sqrt{\epsilon + \frac{1}{m} (\mu_{a_t} - a_{t;i})^2} \quad (\epsilon \approx 10^{-8})$$

3. Puis, on transforme chaque  $a_i$ :

$$\tilde{a}_k = \gamma_a \frac{a_{t;i} - \mu_{a_t}}{\sigma_{a_t}} + \beta_a,$$

où  $\gamma_a$  et  $\beta_a$  sont des paramètres associés au neurone au même titre que les poids, initialisés au hasard et appris par rétropropagation du gradient.

⇒ Lors de la prédiction,  $\gamma_a$  et  $\beta_a$  sont remplacés par des valeurs estimés sur tout l'ensemble d'apprentissage.

# Terme de régularisation

$$\frac{1}{n} \sum_{i=1}^n L(R_{\mathbf{w}}(\mathbf{x}_i), y_i) + \frac{\lambda}{2} \|\mathbf{w}\|^2$$

Paramètre à déterminer.

Somme des carrés de tous les poids du réseau,  
excluant les paramètres de biais

## Interprétation(s) :

- Empêche de «surapprendre» en se concentrant exclusivement sur la minimisation de la perte sur l'ensemble d'apprentissage.
- Favorise les prédicteurs «simples»
- Favorise les prédicteurs «stables»

Possède de belles propriétés pour les problèmes d'apprentissage convexes, ce qui n'est pas le cas ici !

# Terme de régularisation

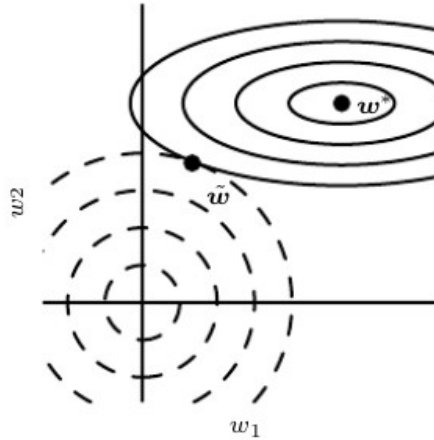


Figure 7.1: An illustration of the effect of  $L^2$  (or weight decay) regularization on the value of the optimal  $\mathbf{w}$ . The solid ellipses represent contours of equal value of the unregularized objective. The dotted circles represent contours of equal value of the  $L^2$  regularizer. At the point  $\tilde{\mathbf{w}}$ , these competing objectives reach an equilibrium. In the first dimension, the eigenvalue of the Hessian of  $J$  is small. The objective function does not increase much when moving horizontally away from  $\mathbf{w}^*$ . Because the objective function does not express a strong preference along this direction, the regularizer has a strong effect on this axis. The regularizer pulls  $w_1$  close to zero. In the second dimension, the objective function is very sensitive to movements away from  $\mathbf{w}^*$ . The corresponding eigenvalue is large, indicating high curvature. As a result, weight decay affects the position of  $w_2$  relatively little.

Source : Goodfellow, Bengio Courville

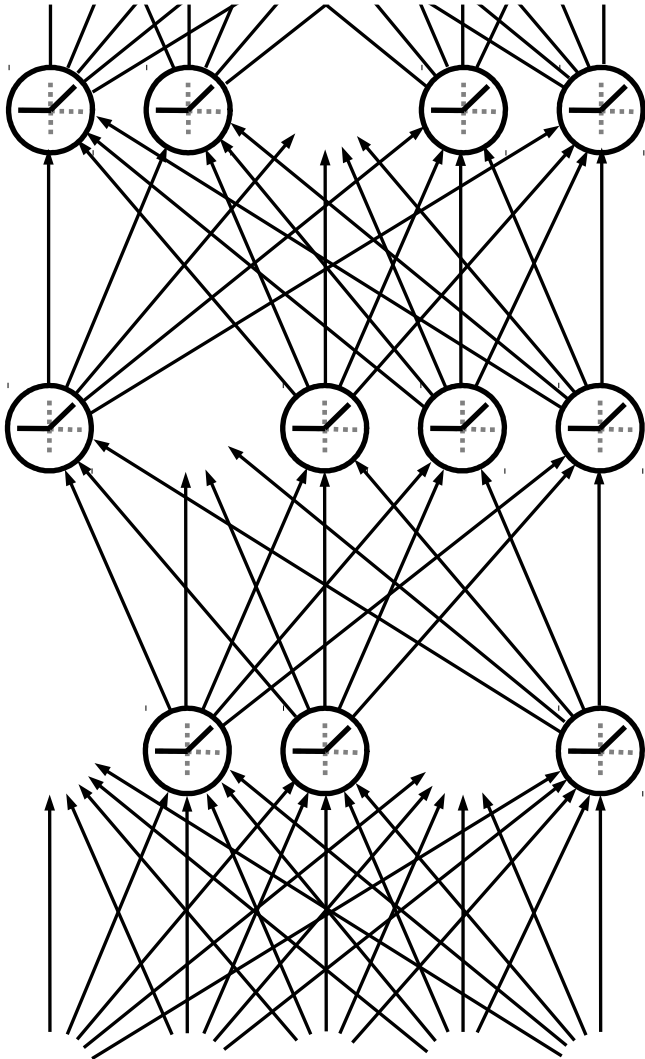
<https://www.deeplearningbook.org/contents/regularization.html>

# Dropout

- Retirer aléatoirement et temporairement des neurones du réseau à chaque itération de la descente de gradient
- Paramètre : Probabilité d'inclusion  $p_{inc}$
- Peut se faire aisément en multipliant la sortie des neurones retirées par 0

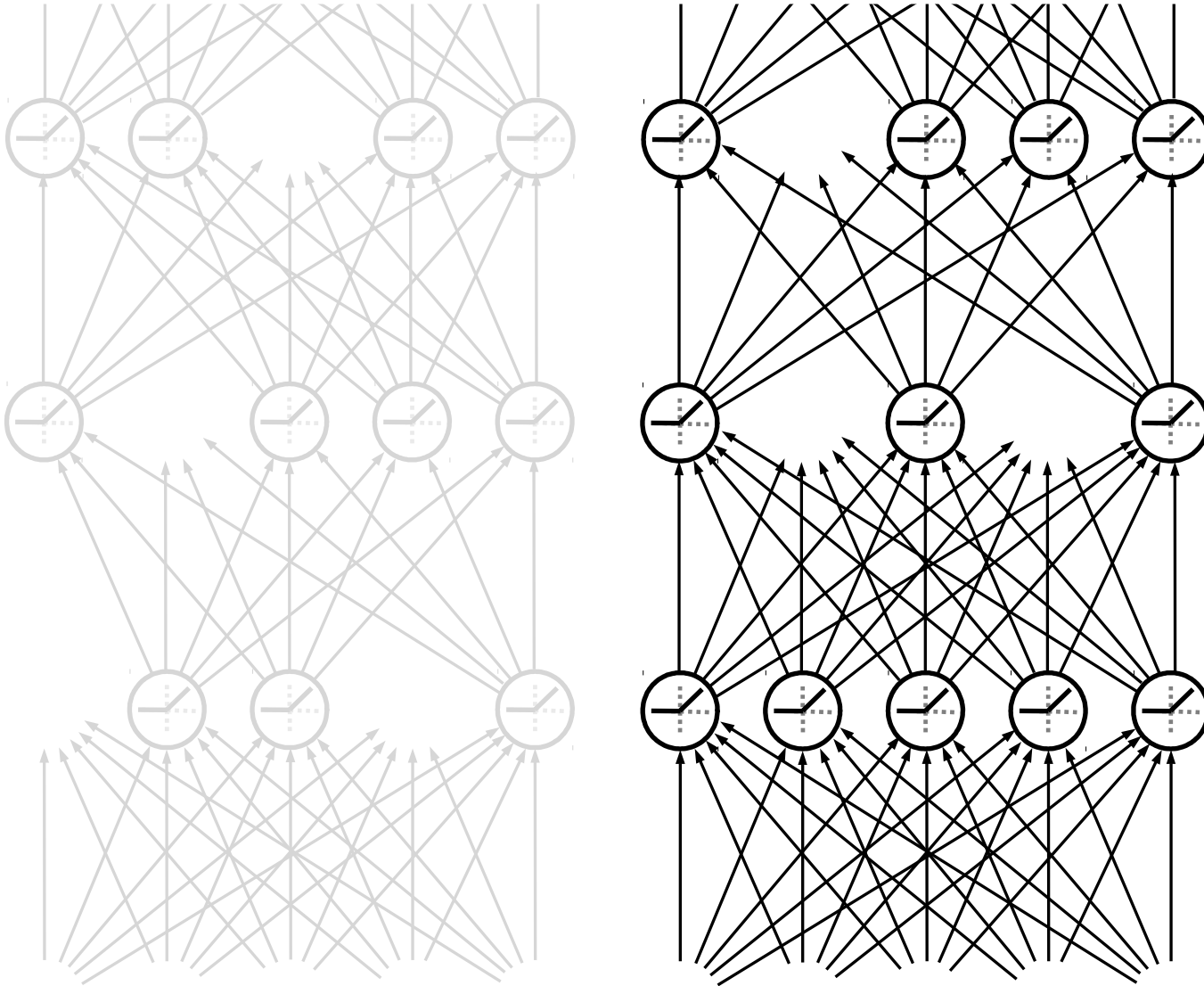
# Dropout

Peut être vu comme une agrégation de plusieurs modèles



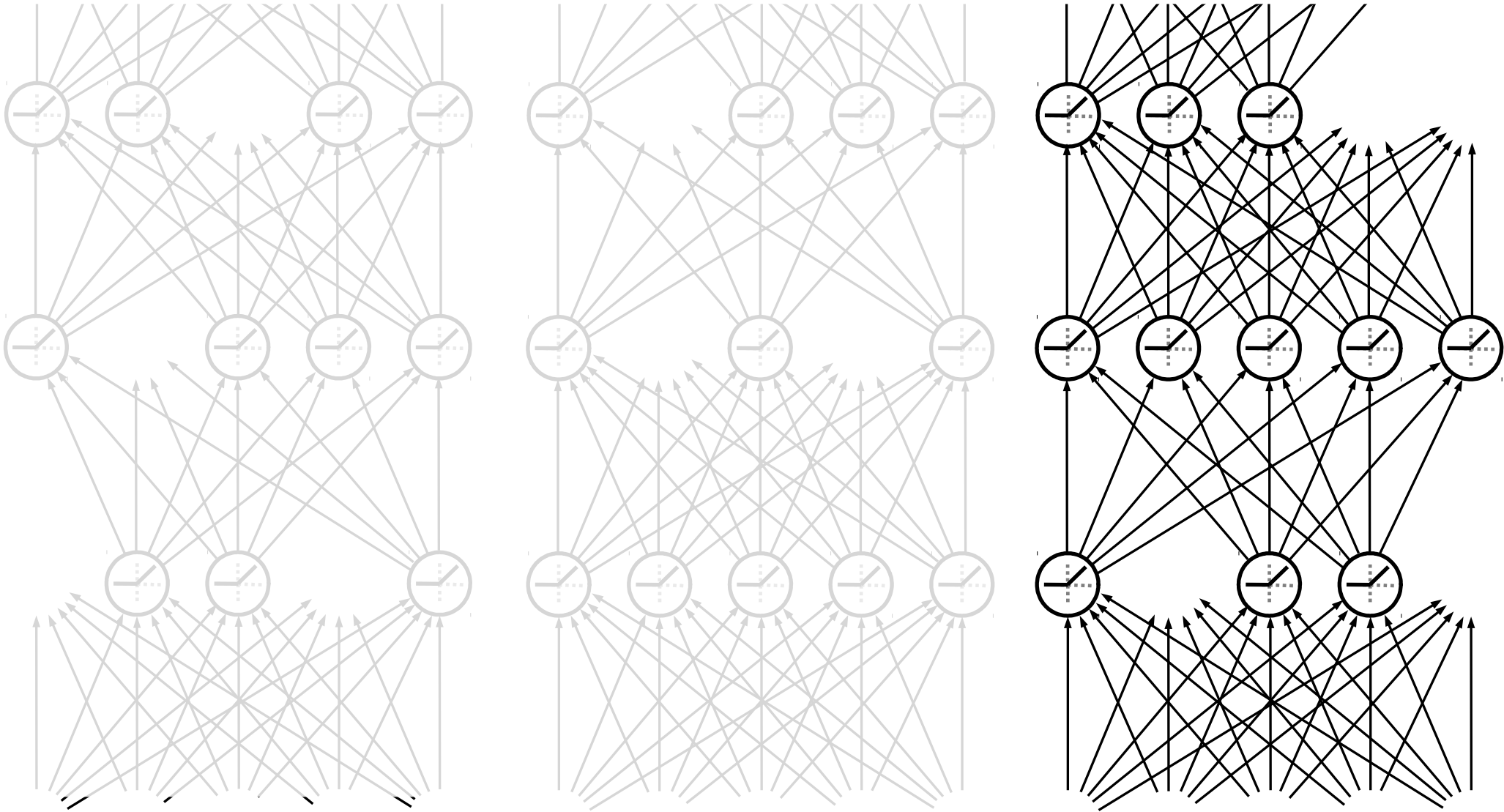
# Dropout

Peut être vu comme une agrégation de plusieurs modèles



# Dropout

Peut être vu comme une agrégation de plusieurs modèles



# Dropout

- Choisir un taux d'inclusion :
  - par couche ( $p_{inc}=0.8$  en entrée,  $p_{inc}=0.5$  ailleurs)
  - pour le réseau entier (sauf sortie)
- Limite la coadaptation des neurones : un *neurone* doit être bon en plusieurs contextes
- On doit parfois compenser la perte de capacité en augmentation la taille du réseau ☹

# Dropout

- À l'inférence, deux stratégies possibles :
  - A** On sélectionne 10-20 masques de dropout et l'on fait la moyenne des prédictions
  - B** On conserve tous les neurones, mais on pondère les connections sortantes par  $p_{inc}$

+commun

$$\mathbf{E}a = \sum_{i=1}^D p_{inc} w_i \phi_i$$

**Note** : PyTorch fait **B**, mais en pondérant par  $1/(1-p_{drop})$  durant l'apprentissage.

# Augmentation des données

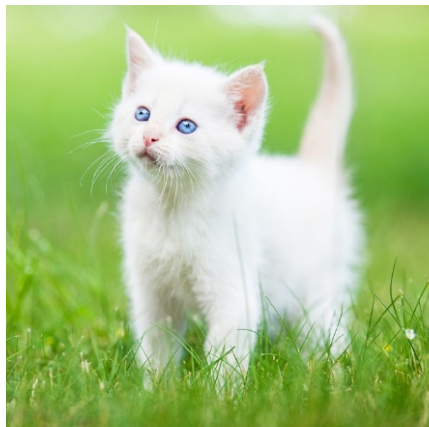
- Créer des *nouvelles données* à partir de l'ensemble d'apprentissage
- Fonctionne particulièrement bien pour classification visuelle, car on y cherche l'invariance à certaines transformations :
  - Rotation
  - Translation
  - Réflexion horizontale ou verticale
  - Échelle
  - Intensité lumineuse, etc...
- Nécessité de comprendre le processus (physique) de création des données

# Exemples dans `torchvision`

- `RandomCrop`
- `RandomHorizontalFlip`
- `RandomVerticalFlip`
- `RandomResizedCrop`
- `RandomSizedCrop`
- `ColorJitter`

# Augmentation des données

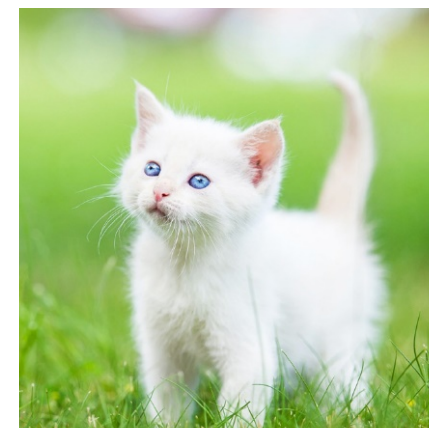
Horizontal flip



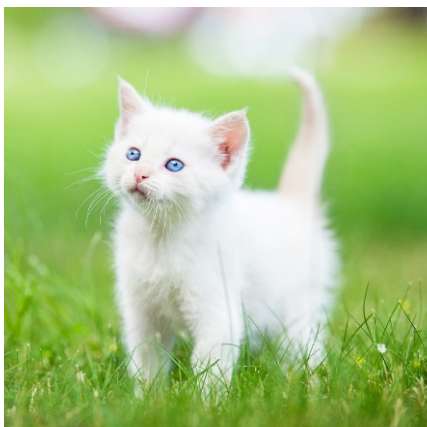
Vertical flip



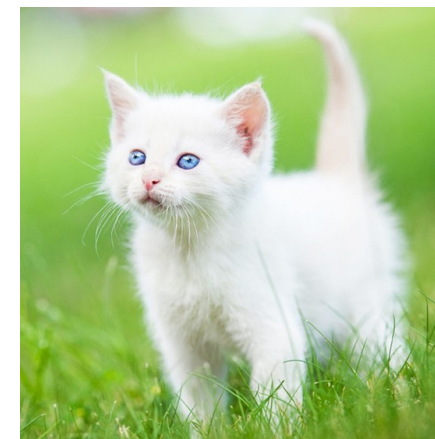
Random crop



Random scale



Random rotation



Combinaison de ces opérations

Attention à ne pas changer un 6 en 9...

# transforms.ColorJitter



Brightness

Trial #0



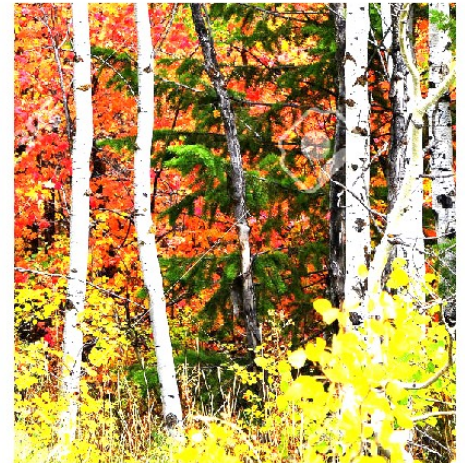
Trial #1



Trial #2



Trial #3

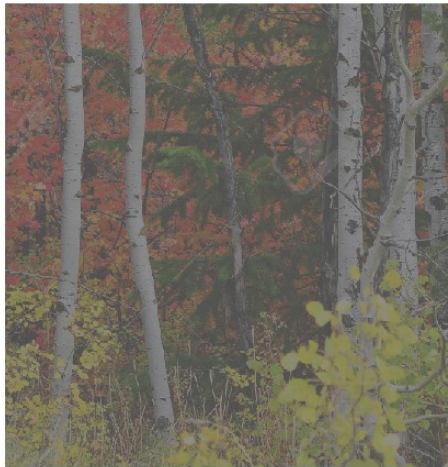


# transforms.ColorJitter



Contrast

Trial #0



Trial #1



Trial #2



Trial #3



# transforms.ColorJitter



Saturation

Trial #0



Trial #1



Trial #2



Trial #3



# transforms.ColorJitter



Hue

Essai #0



Essai #1



Essai #2



Essai #3



# Méthode d'ensemble

- Entraîne quelques modèles (réseaux de neurones)
- Faire un vote / moyennage des sorties
- Fonctionne sous l'hypothèse que les modèles font des erreurs différentes
- Pour des architectures identiques, les prédictions varient quand même dues à l'initialisation, mini-batch aléatoire
- Donne souvent un gain de 1-2%

# Méthode d'ensemble

| Réseau                                   | year | # crops | # modèles | Gain Top-1<br>(Erreur) | Gain Top-5<br>(Erreur) |
|--|------|---------|-----------|------------------------|------------------------|
| AlexNet                                  | 2012 |         | 7         |                        | 2.8%<br>(15.4)         |
| VGGnET                                   | 2014 | -       | 2         | 0.7%<br>(23.7%)        | 0%<br>(6.8%)           |
| GoogLeNet                                | 2013 | 144     | 7         | -                      | 1.22% (6.7%)           |
| BatchNorm-<br>Inception                  | 2015 | 144     | 6         | 1.9%<br>(20.1%)        | 0.92% (4.9%)           |
| Inception-v3                             | 2015 | 144     | 4         | 1.57%<br>(17.2%)       | 0.62% (3.6%)           |
| Inception v4 + 3x<br>Inception-ResNet-v2 | 2016 | 144     | 4         | 1.3%<br>(16.5%)        | 0.6%<br>(3.1%)         |

(La valeur entre parenthèse est le taux d'erreur, après ensemble)